

Praktyczne metody weryfikacji

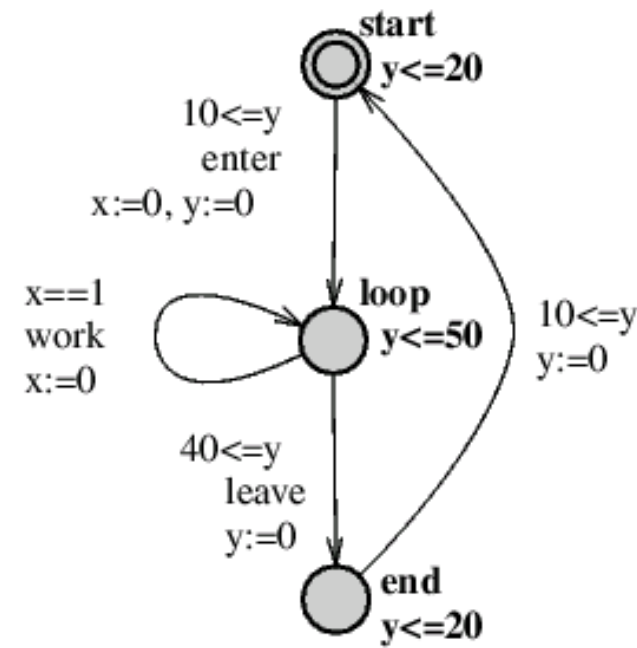
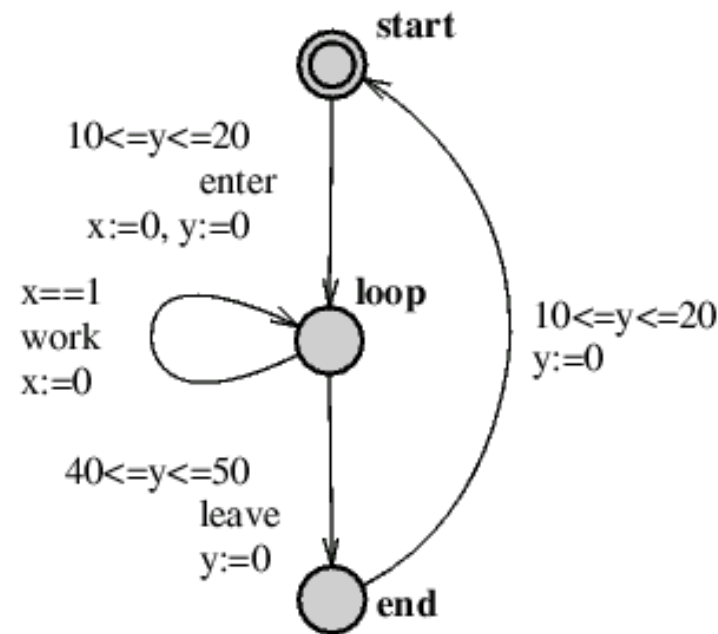
Wykład 11: Automaty czasowe

Jak modelować upływ czasu ?

- czas dyskretny lub ciągły
- trwanie tranzycji lub upływ czasu między tranzycjami
- różne modele:
 - automaty czasowe \mapsto czasowa struktura Kripkego
 - czasowe sieci Petri'ego
 - czasowe algebry procesów
- logiki czasowe: TCTL, TLTL, ...

I. Modele czasowe

Automaty czasowe



[Bengtsson, Yi 2004]

Zegary : $x \in \mathcal{C}$

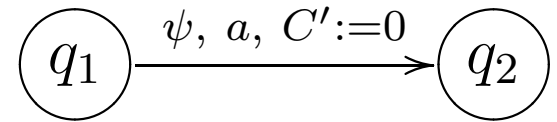
Dozory, niezmiennniki : $\Psi(\mathcal{C})$

$$\psi ::= x \prec c \mid \psi_1 \wedge \psi_2 \mid x_1 - x_2 \prec c$$

$$\begin{aligned}\prec &\in \{\langle, \leq, \rangle, \geq\} \\ c &\in \mathbb{Q}^+ \quad (\textcolor{red}{c} \in \mathbb{N})\end{aligned}$$

Relacja przejścia $\rho \subseteq Q \times \Sigma \times \Psi(\mathcal{C}) \times \mathcal{P}(\mathcal{C}) \times Q$

$$\langle q_1, a, \psi, \mathcal{C}', q_2 \rangle \in \rho$$



Słowo czasowe : $\langle t_1, a_1 \rangle \langle t_2, a_2 \rangle \dots$ (życiowość)

nie-Zeno : $\sum_i t_i$ nieograniczony

Wartościowanie zegarów : $v \in (\mathbb{R}^+)^{\mathcal{C}}$ $\forall x \in \mathcal{C}. v_0(x) = 0$

Bieg automatu : $\langle q_0, v_0 \rangle \xrightarrow{t_1} \langle q_0, v_0 + t_1 \rangle \xrightarrow{a} \langle q_1, v_1 \rangle \xrightarrow{t_2} \dots$

$v_0 \models \text{niezm}(q_0)$ $v_0 + t_1 \models \text{niezm}(q_0)$ $v_1 \models \text{niezm}(q_1)$

$\langle q_0, a, \psi, \mathcal{C}', q_1 \rangle \in \rho$ $v_0 + t_1 \models \psi$ $v_1 = (v_0 + t_1)[C' := 0]$

Warianty:

- bez niezmienników
- bez dozorów postaci $x_i - x_j \prec c$
- bez etykiet

2 rodzaje tranzycji: \rightarrow i $\overset{t}{\rightsquigarrow}$

Blokada: nie istnieje t t. że

$$\langle q, v \rangle \xrightarrow{t} \langle q, v + t \rangle \xrightarrow{a}$$

Blokada czasowa: dodatkowo, nie istnieje $t > 0$ t. że

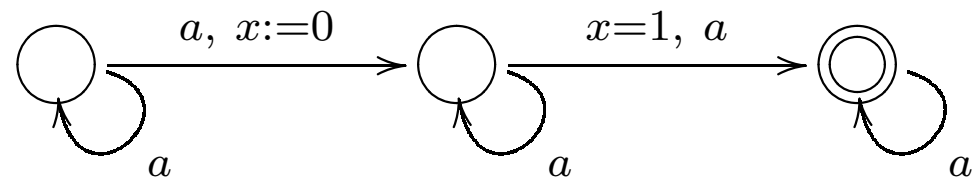
$$\langle q, v \rangle \xrightarrow{t} \langle q, v + t \rangle$$

Pilność (niezmienniki)

automaty	pustość	uniwersalność
bezczasowe	NLOGSPACE	PSPACE
czasowe	PSPACE	nierozstrzygalna

- $L(A) \subseteq L(B)$
- tylko 1 zegar
- słowa skończone lub ω -słowa

Brak uzupełnienia :



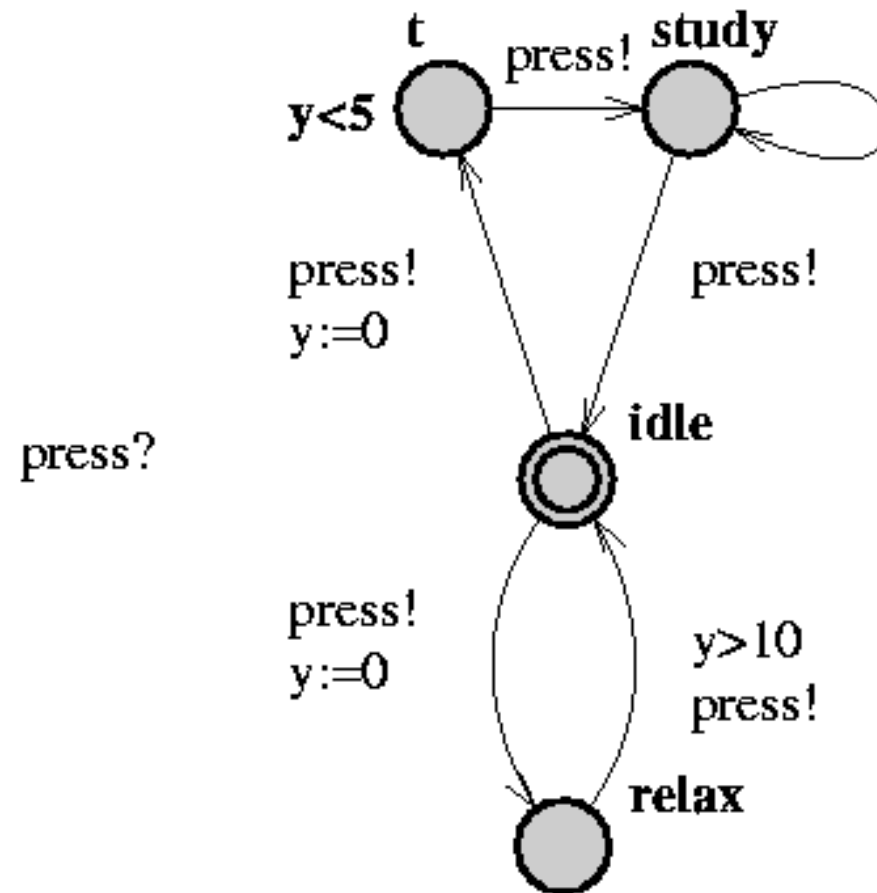
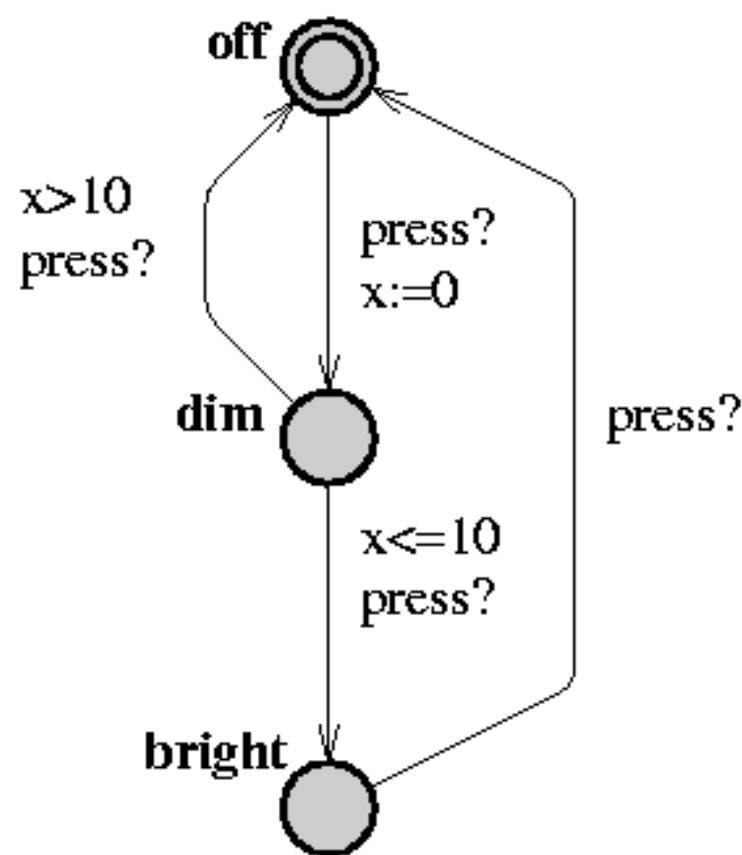
$L(\mathcal{A}_1) \cap L(\mathcal{A}_2)$?

M(A)

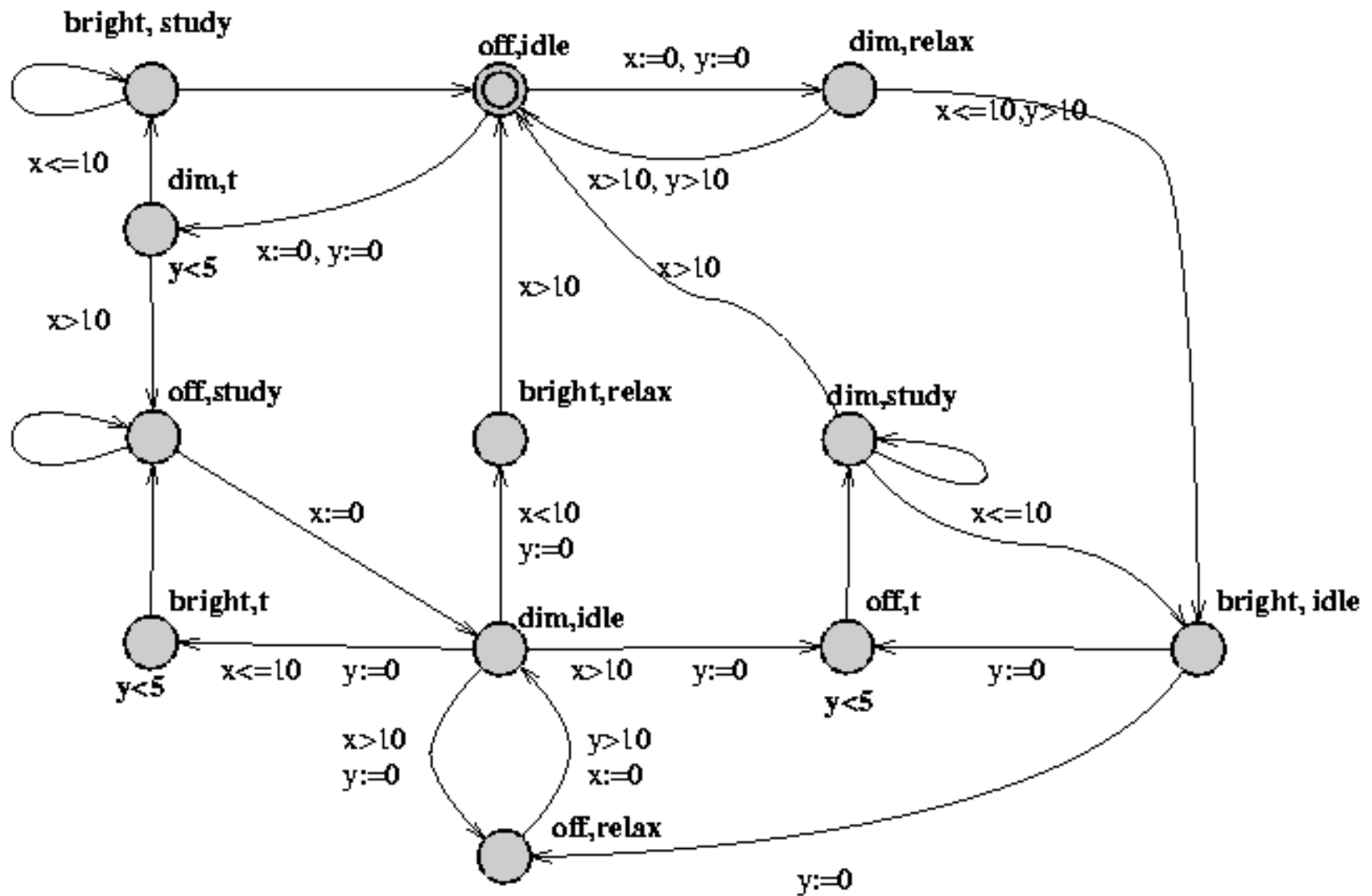
- stany: $\langle q, v \rangle \in Q \times (\mathbb{R}^+)^{\mathcal{C}}$
- stany pocz.: $\langle q_0, v_0 \rangle$
- tranzycje: $\langle q, v \rangle \xrightarrow{t} \langle q, v + t \rangle$ $\langle q, v \rangle \xrightarrow{a} \langle q', v' \rangle$
- $L(\langle q, v \rangle) = L(q) \cup \{\psi : v \models \psi\}$

determinizm: $s \xrightarrow{t} s'$, $s \xrightarrow{t} s'' \implies s' = s''$

gęstość: $s \xrightarrow{t_1+t_2} s' \iff \exists s''. s \xrightarrow{t_1} s'' \xrightarrow{t_2} s'$



[Bengtsson, Yi 2004]

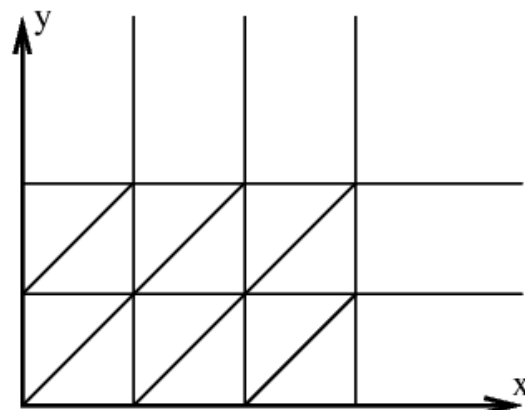


[Bengtsson, Yi 2004]

II. Regiony i strefy

$$v \sim w \iff$$

- also $v(x) > c_x$ i $w(x) > c_x$ also $\lfloor v(x) \rfloor = \lfloor w(x) \rfloor$
- $v(x) \leq c_x \implies (\langle v(x) \rangle = 0 \iff \langle w(x) \rangle = 0)$
- $v(x) \leq c_x$ i $v(y) \leq c_y \implies$
 $(\langle v(x) \rangle \leq \langle v(y) \rangle \iff \langle w(x) \rangle \leq \langle w(y) \rangle)$

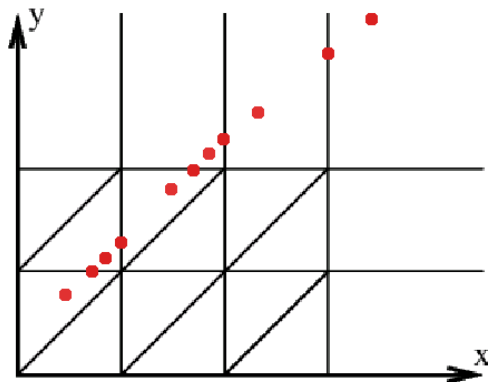


[Bengtsson, Yi 2004]

Liczba regionów:

$$\leq |\mathcal{C}|! \cdot 2^{|\mathcal{C}|-1} \cdot \left(\prod_{x \in \mathcal{C}} (2 \cdot c_x + 2) \right) = \mathcal{O}(2^{(|\mathcal{C}| \cdot \log(|\mathcal{C}| \cdot c_{\max}))})$$

$r \rightsquigarrow r'$



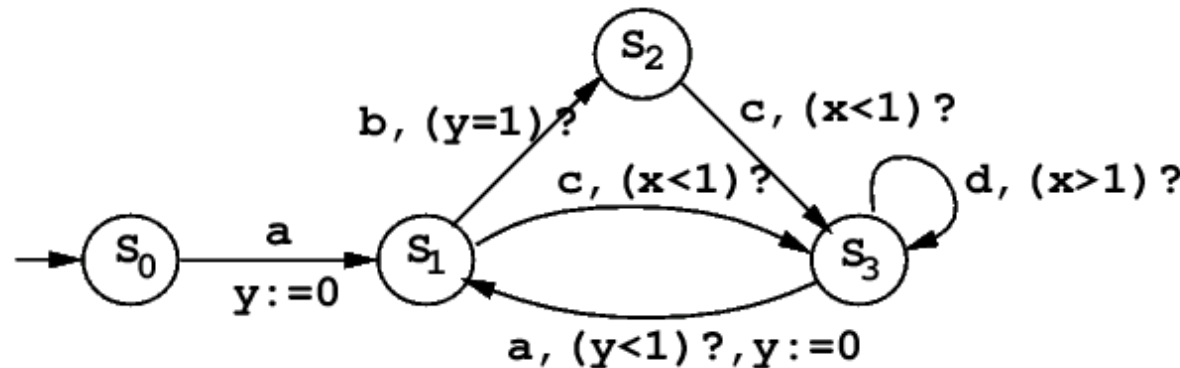
Automat „regionowy” $R(\mathcal{A})$

- stany: (q, r)
- tranzycje: $(q_1, r_1) \xrightarrow{a} (q_2, r_2) \iff \exists r, \langle q_1, a, \psi, \mathcal{C}', q_2 \rangle \in \rho$
 - $r_1 \rightsquigarrow r$
 - $r \models \psi \quad (r \subseteq \psi)$
 - $r_2 = r[\mathcal{C}' := 0]$

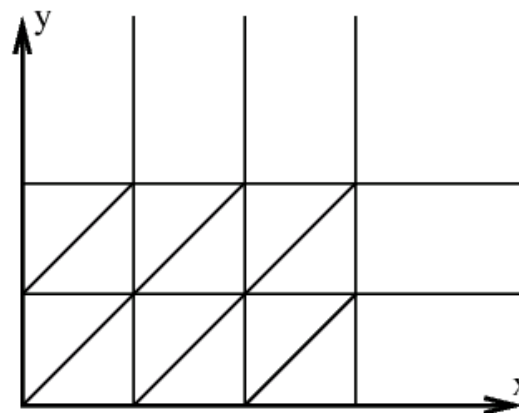
automat „symboliczny”

$L(R(\mathcal{A})) = \text{untime}(L(\mathcal{A}))$

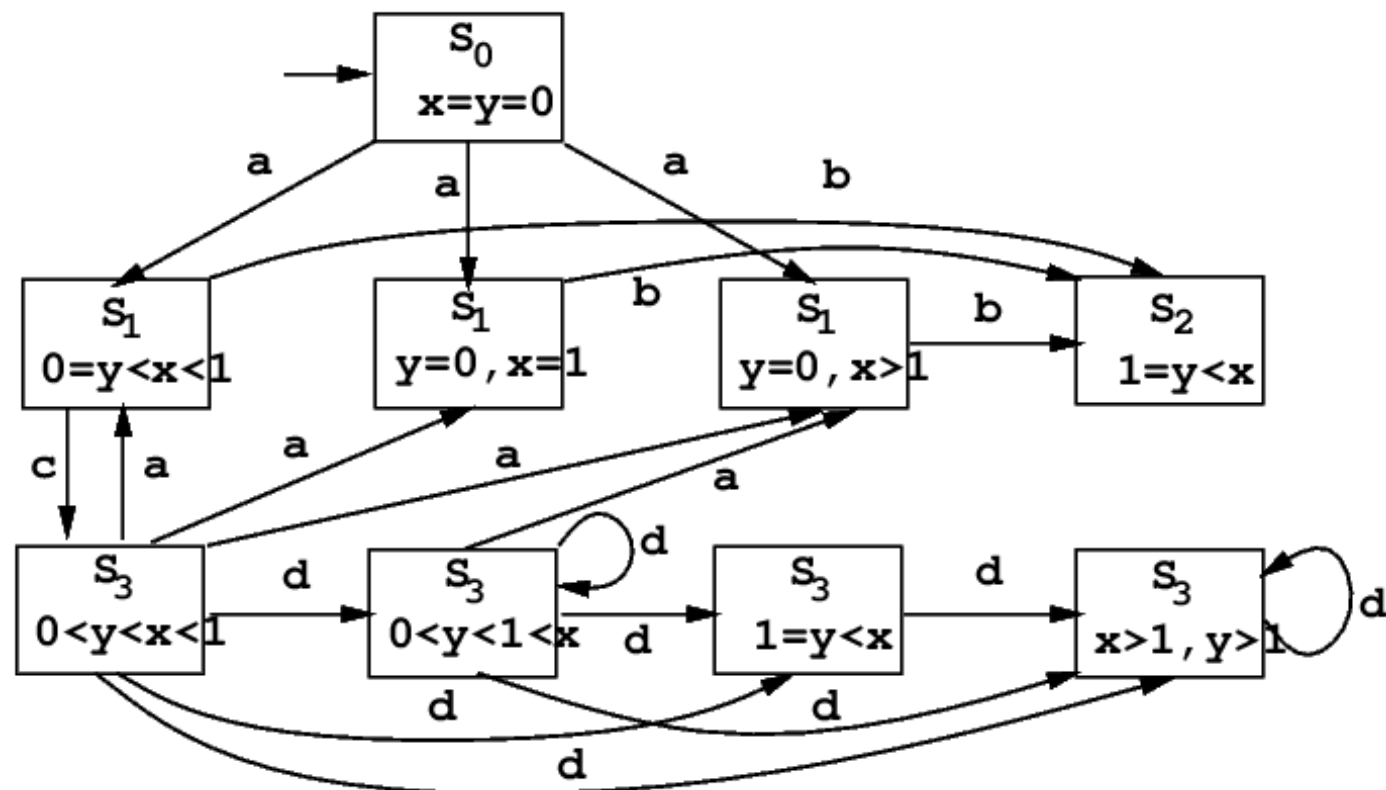
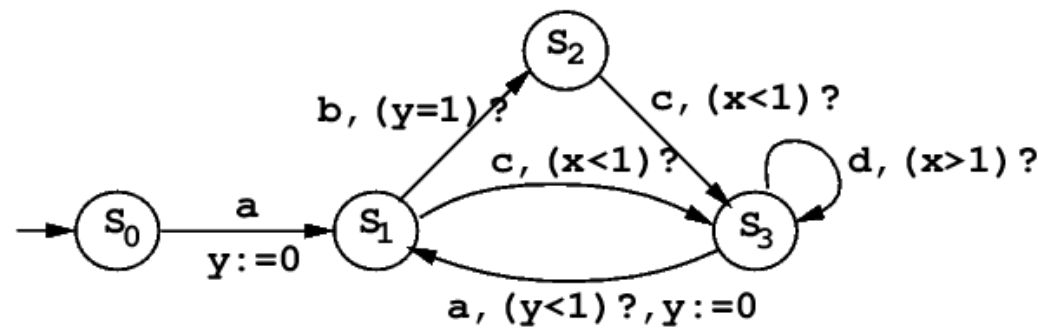
Przykład



[Alur, Dill 1994]



Przykład



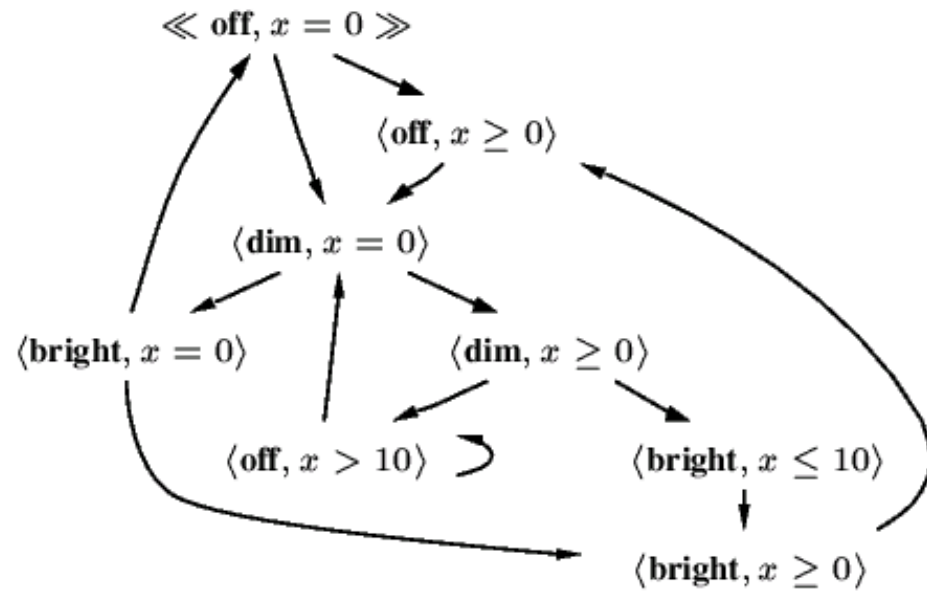
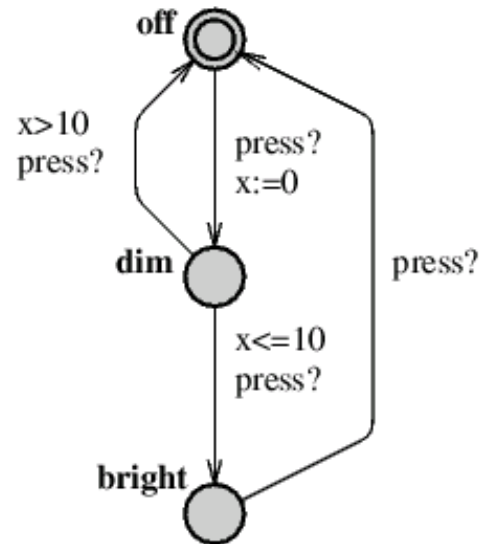
[Alur, Dill 1994]

Automat „strefowy” $Z(A)$

- stany: (q, ψ)
 - transzycje:
 - $(q, \psi) \rightsquigarrow (q, \psi^{\rightsquigarrow} \wedge \text{niezm}(q))$
 - $(q_1, \psi_1) \xrightarrow{a} (q_2, (\psi_1 \wedge \psi)[\mathcal{C}' := 0] \wedge \text{niezm}(q_2))$
- jeśli $\langle q_1, a, \psi, \mathcal{C}', q_2 \rangle \in \rho$

Przykład

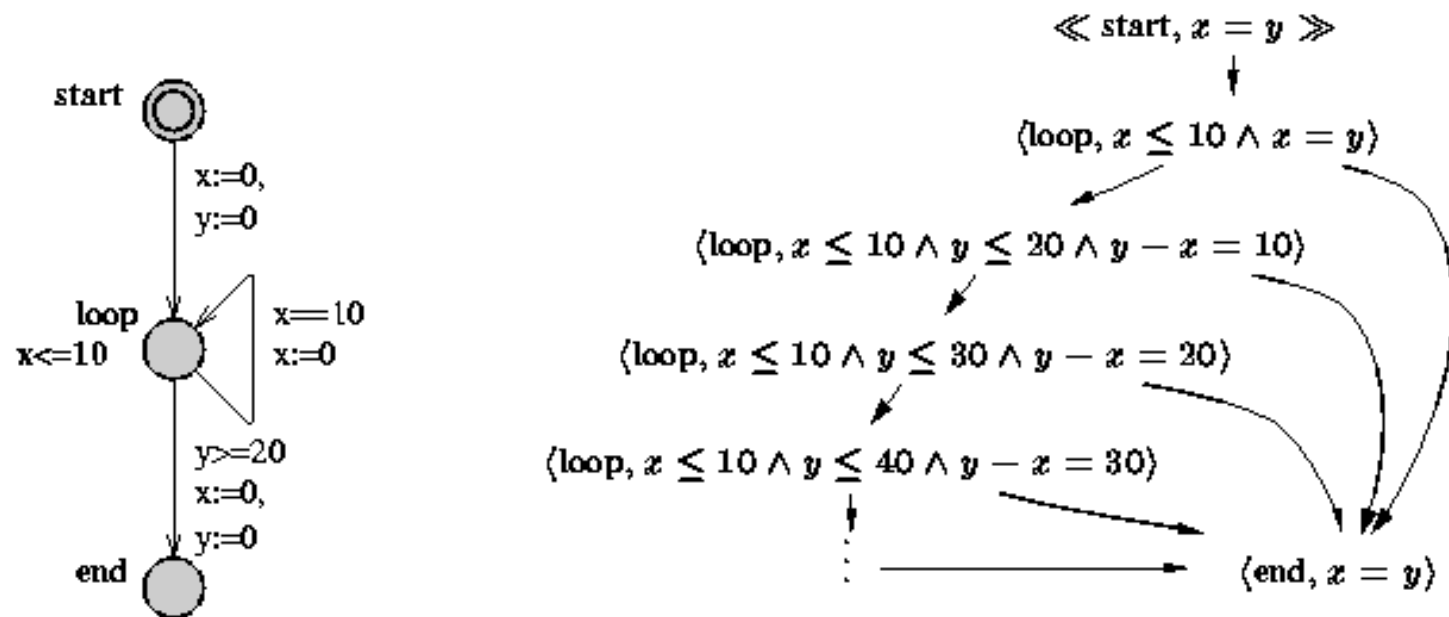
$Z(\mathcal{A})$



[Bengtsson, Yi 2004]

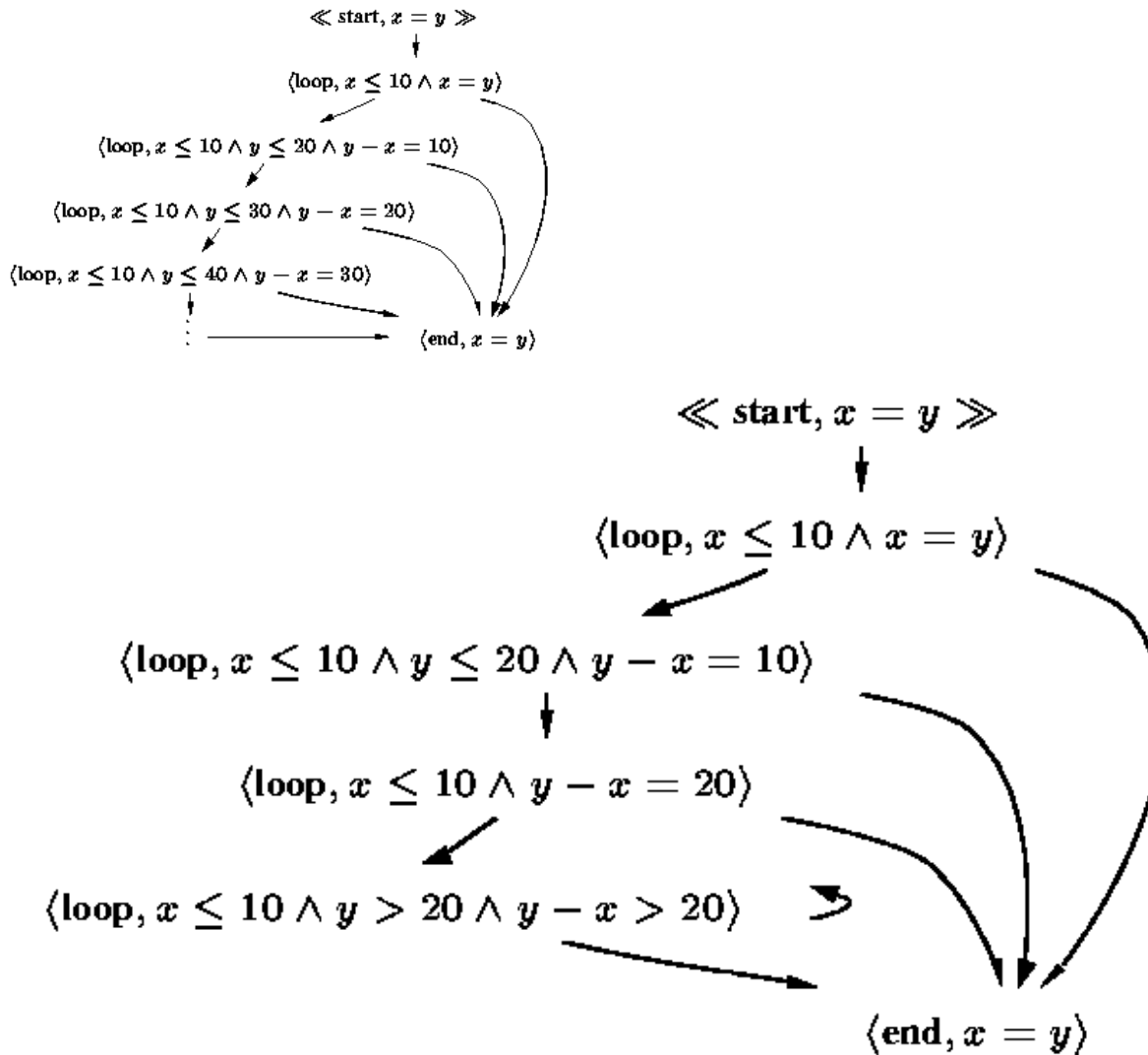
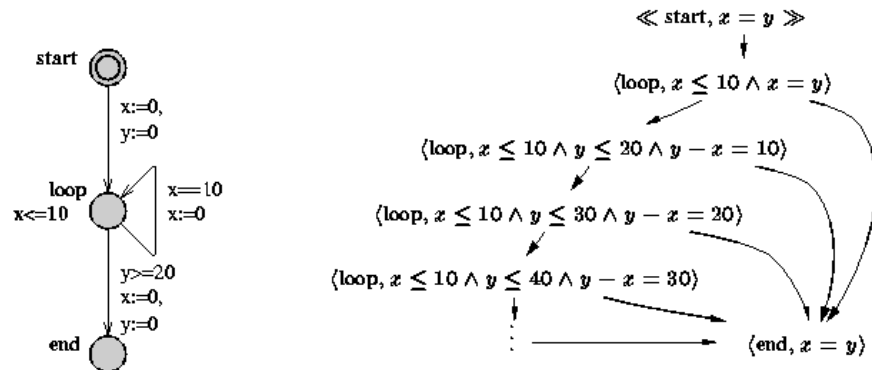
$R(\mathcal{A})$ ma > 50 stanów !

$Z(\mathcal{A})$ o nieskończonymie wielu stanach



[Bengtsson, Yi 2004]

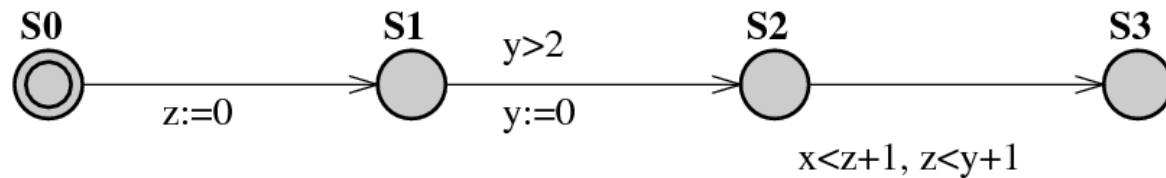
Przykład – po znormalizowaniu



[Bengtsson, Yi 2004]

normalizacja nie zawsze jest poprawna! (dozory różnicowe)

Niepoprawność normalizacji



[Bengtsson, Yi 2004]

$$\langle S_2, x-y > 2 \wedge x > 2 \rangle \xrightarrow{\text{normalizacja}} \langle S_2, x-y > 1 \wedge x > 1 \rangle$$

I. Logiki czasowe

M(A)

- stany: $\langle q, v \rangle \in Q \times (\mathbb{R}^+)^{\mathcal{C}}$
- stany pocz.: $\langle q_0, v_0 \rangle$
- tranzycje: $\langle q, v \rangle \xrightarrow{t} \langle q, v + t \rangle$ $\langle q, v \rangle \xrightarrow{a} \langle q', v' \rangle$
- $L(\langle q, v \rangle) = L(q) \cup \{\psi : v \models \psi\}$

determinizm: $s \xrightarrow{t} s'$, $s \xrightarrow{t} s'' \implies s' = s''$

gęstość: $s \xrightarrow{t_1+t_2} s' \iff \exists s''. s \xrightarrow{t_1} s'' \xrightarrow{t_2} s'$

Rozszerzamy CTL_{-X}^{*}

formuły stanowe:

$$s \models \phi$$

$$\phi ::= p \mid \neg\phi \mid \phi_1 \wedge \phi_2 \mid \mathbf{E} \psi$$

formuły ścieżkowe:

$$\Pi \models \psi$$

$$\psi ::= \phi \mid \neg\psi \mid \psi_1 \wedge \psi_2 \mid \psi_1 \mathbf{U}_{\textcolor{red}{I}} \psi_2$$

$\textcolor{red}{I}$ – przedział

np. $\prec c$, $\prec \in \{<, \leq, >, \geq, =\}$

$$M \models \phi \quad M(\mathcal{A}) \models \phi \quad \mathcal{A} \models \phi$$

ścieżka: $\Pi = s_0 \xrightarrow{t_0} s'_0 \xrightarrow{a_0} s_1 \xrightarrow{t_1} s'_1 \xrightarrow{a_1} \dots$ ($\sum_i t_i$ nieogr.)

sygnał: $\Pi = \cdot \xrightarrow{a_0} t_0 \xrightarrow{a_1} t_0 + t_1 \dots$

$s_0 \models \phi_1 \mathsf{U}_{\textcolor{red}{I}} \phi_2$ wtw gdy $\exists \Pi$ j. w., $t \in \textcolor{red}{I}$.

$$\Pi^t \models \phi_2 \wedge \forall 0 < t' < t. \Pi^{t'} \models \phi_1$$

Uwaga: kwantyfikacja po $t \in \mathbb{R}^+$

TLTL (MTL):

$$\mathbf{G} (p \implies \mathbf{F}_{=1} q)$$

$$\mathbf{F}_{\leq 10} p \wedge \mathbf{F}_{\geq 5} p \quad \mathbf{F}_{\langle 5, 10 \rangle} p$$

$$\mathbf{G} \mathbf{F}_{\leq 1} p$$

TCTL:

$$\mathbf{AG} (p \implies \mathbf{AF}_{\leq 3} q)$$

$$\mathbf{AG} (p \implies \mathbf{AF} q \wedge x \leq 3)$$

Złożoność

$\phi \in \dots$	$M \models \phi$	spełnialność ϕ
LTL	PSPACE	PSPACE
CTL	P	EXPTIME

$\phi \in \dots$	$M(\mathcal{A}) \models \phi$	spełnialność ϕ
TLTL (MTL)	nierozstrzygalna	nierozstrzygalna
TCTL	PSPACE	nierozstrzygalna

- TLTL: punktualność (MITL)
- TLTL: słowa skończone lub ω -słowa
- TLTL: semantyka punktowa
- TCTL: 1 lub 2 zegary

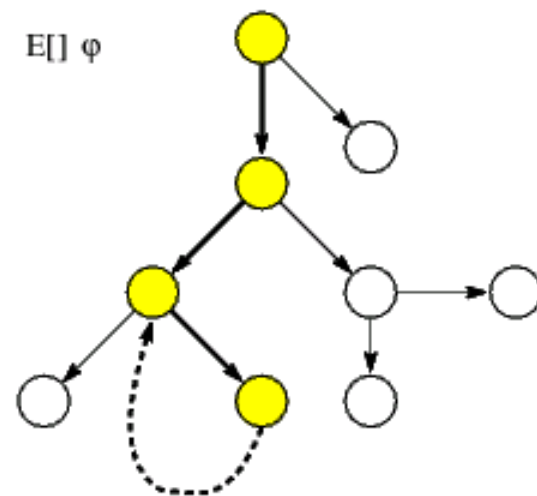
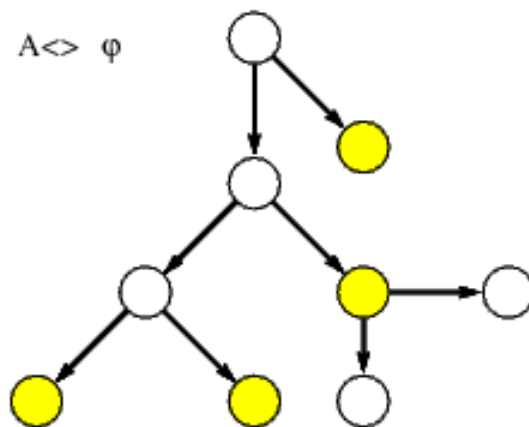
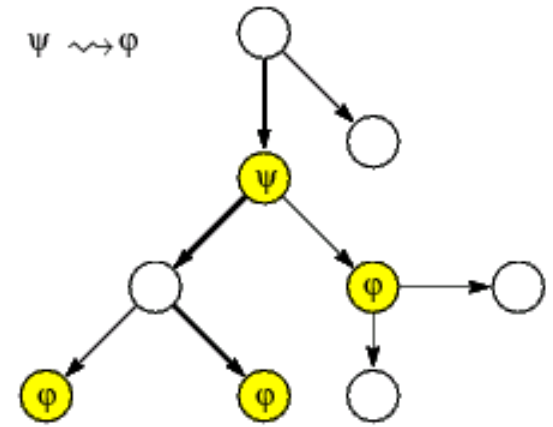
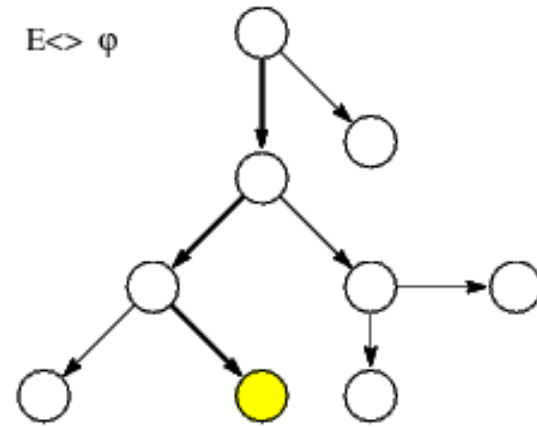
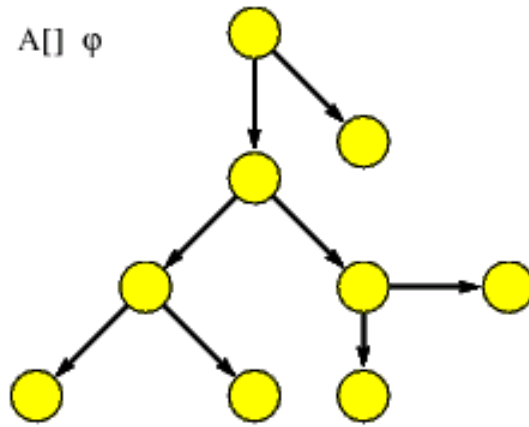
TLTL:

$$\mathbf{G} (p \implies x. \mathbf{F} (q \wedge y. \mathbf{F} (r \wedge y < 5 \wedge x \leq 10)))$$

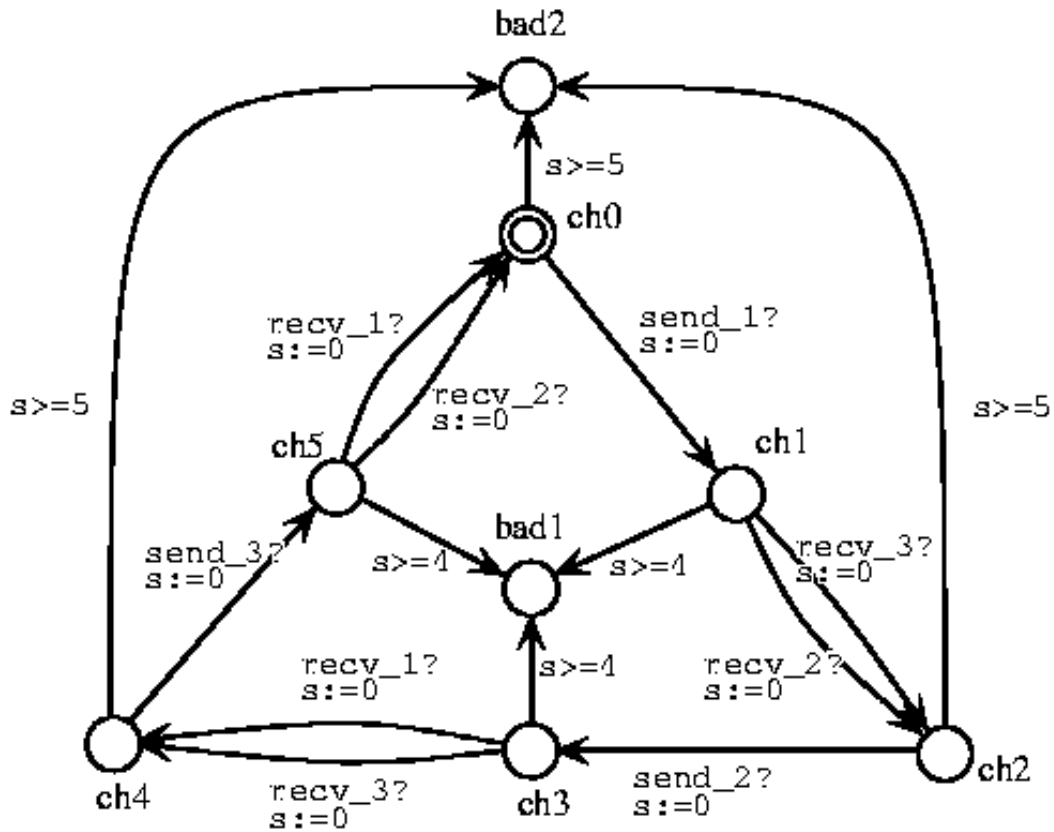
$$x. \mathbf{F} (p \wedge x \leq 1 \wedge \mathbf{G} (x \leq 1 \implies p))$$

TCTL:

$$\mathbf{EF} x. (p \wedge \mathbf{EF} (q \wedge \mathbf{EF} (r \wedge x < 5)))$$



Automaty testujące



```

PASSED:= {}
WAIT:= {( $l_0, D_0$ )}
repeat
    begin
        get ( $l, D$ ) from WAIT
        if ( $l, D$ )  $\models \phi$  then return "YES"
        else if  $D \not\subseteq D'$  for all  $(l, D') \in$  PASSED then
            begin
                add ( $l, D$ ) to PASSED      (*)
                NEXT:= $\{(l_s, D_s) : (l, D) \rightsquigarrow (l_s, D_s) \wedge D_s \neq \emptyset\}$ 
                for all  $(l_{s'}, D_{s'})$  in NEXT do
                    put  $(l_{s'}, D_{s'})$  to WAIT
            end
    end
until WAIT= {}
return "NO"

```

[Bengtsson, Yi 2004]

II. DBMs

Difference-Bound Matrix

DBM = reprezentacja strefy

$$x_i - x_j \prec_{ij} c_{ij}$$

$$\prec_{ij} \in \{<, \leq\}$$

$$x_i - x_j \prec_{ij} c_{ij}$$

$$\mapsto -c_{ji} \prec_{ji} x_i - x_j \prec_{ij} c_{ij}$$

$$x_j - x_i \prec_{ji} c_{ji}$$

$$x_i - 0 \prec_{i0} c_{i0}$$

$$\mapsto -c_{0i} \prec_{0i} x_i \prec_{i0} c_{i0}$$

$$0 - x_i \prec_{0i} c_{0i}$$

strefa:

$$\{x < 20, y \leq 20, y - x = 10, \dots\}$$

$$\{x - 0 < 20, y - 0 \leq 20, y - x \leq 10, x - y \leq -10, 0 - z < 5\}$$

macierz ja reprezentująca:

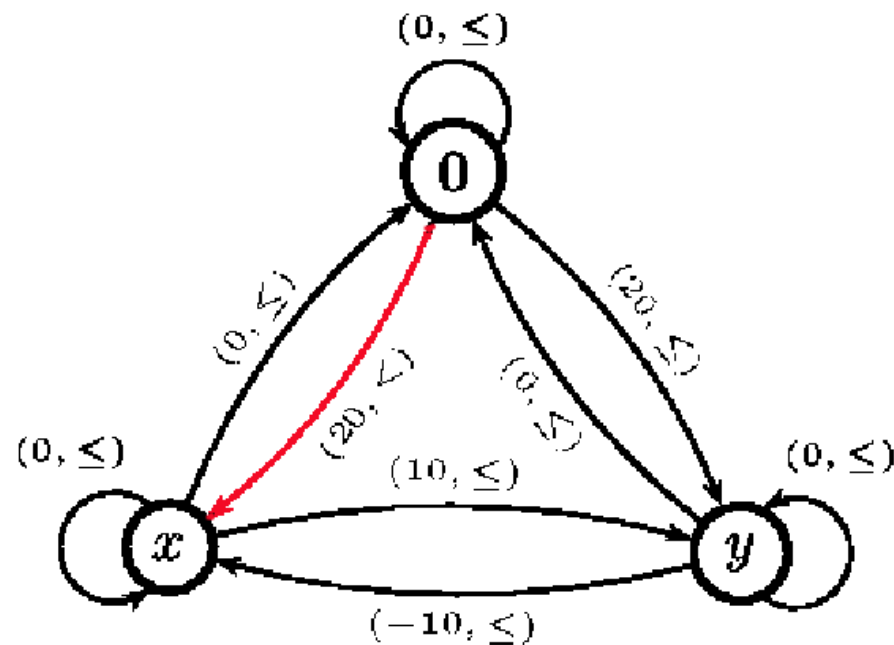
$$\begin{pmatrix} (0, \leq) & (0, \leq) & (0, \leq) & (5, <) \\ (20, <) & (0, \leq) & (-10, \leq) & \infty \\ (20, \leq) & (10, \leq) & (0, \leq) & \infty \\ \infty & \infty & \infty & (0, \leq) \end{pmatrix}$$

[Bengtsson, Yi 2004]

strefa:

$$\{x - 0 < 20, \ y - 0 \leq 20, \ y - x \leq 10, \ x - y \leq -10\}$$

graf ją reprezentujący:

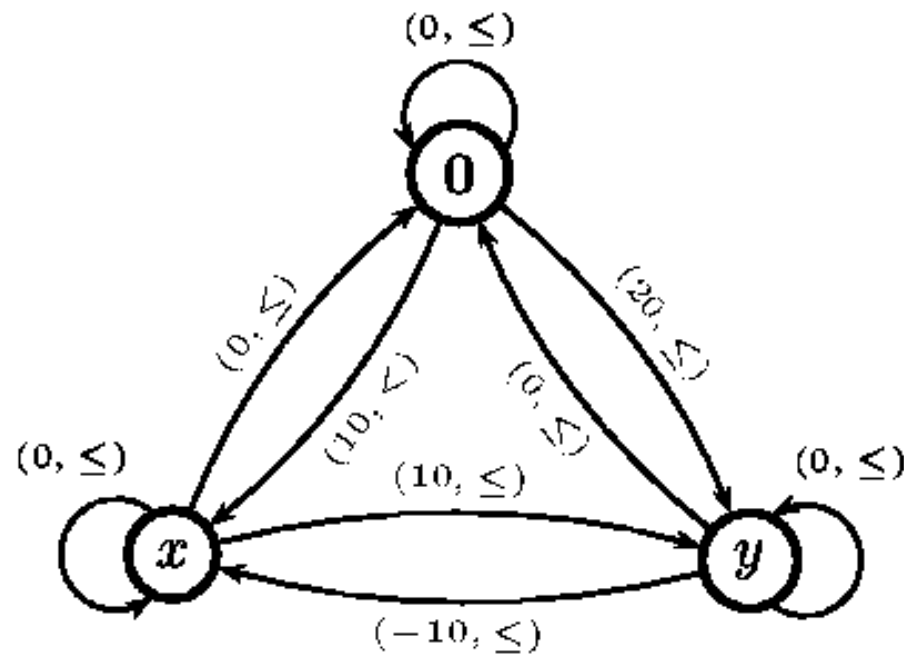


[Bengtsson, Yi 2004]

strefa:

$$\{x - 0 < 20, \ y - 0 \leq 20, \ y - x \leq 10, \ x - y \leq -10\}$$

graf kanoniczny ją reprezentujący:



[Bengtsson, Yi 2004]

$$x_i - x_j \prec_{ij} c_{ij}$$

$$\prec_{ij} \in \{<, \leq\}$$

$$\begin{aligned} c'_{ij} &:= c_{ij} + c_{jk} \\ \prec'_{ik} &:= \begin{cases} \leq & \text{gdy } \prec_{ij} = \leq \wedge \prec_{jk} = \leq \\ < & \text{w p.p.} \end{cases} \end{aligned}$$

jeśli $\langle c'_{ik}, \prec'_{ik} \rangle$ silniejsze niż $\langle c_{ik}, \prec_{ik} \rangle$ to zastąp
 (∞ jest zawsze słabsze)

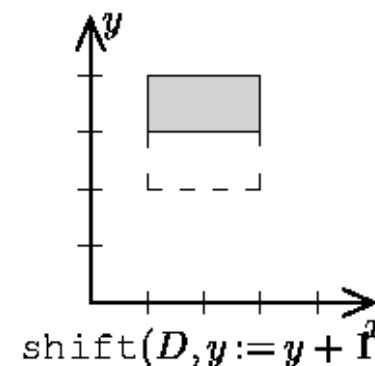
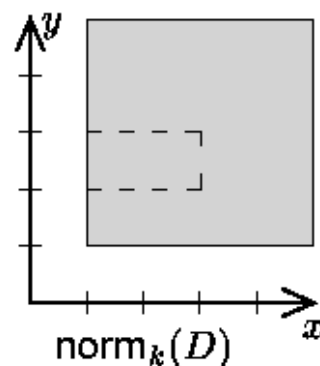
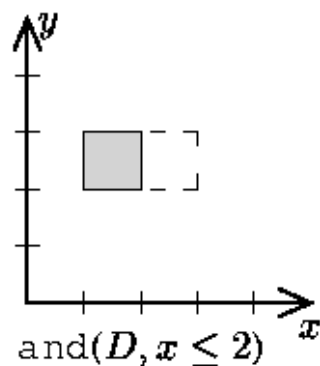
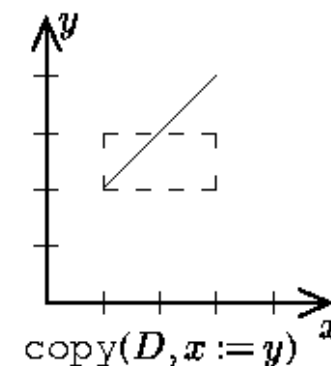
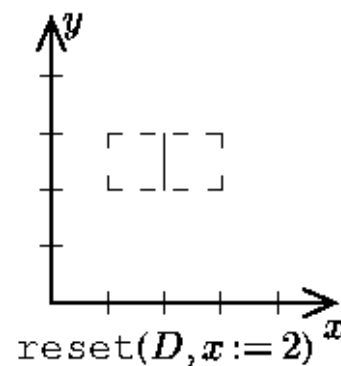
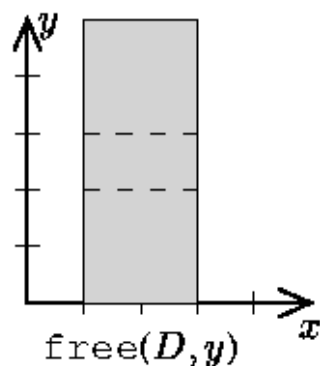
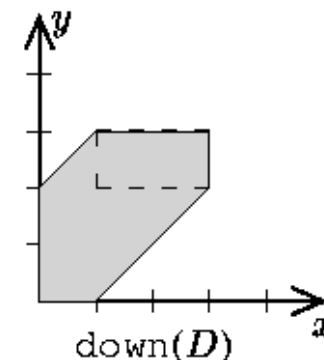
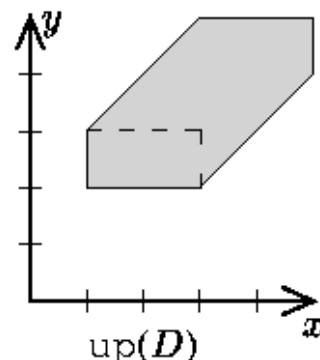
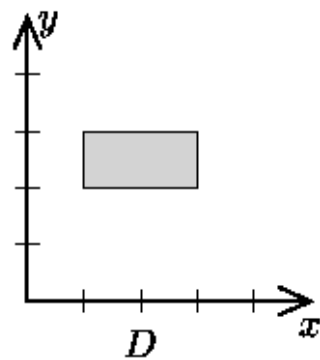
Czas $\mathcal{O}(n^3)$

Operacje na strefach (macierzach):

- $D \neq \emptyset ?$ \iff nie ma cyklu < 0

$$-c_{ji} \prec_{ji} x_i - x_j \prec_{ij} c_{ij} \quad -c_{ji} \prec' c_{ij}$$

- $D \subseteq D' ?$
- D^{\rightsquigarrow} $\text{up}(D)$ $\text{down}(D)$
- $D \wedge \psi$ $D_1 \wedge D_2$
- $D[\mathcal{C}' := 0]$
- ...



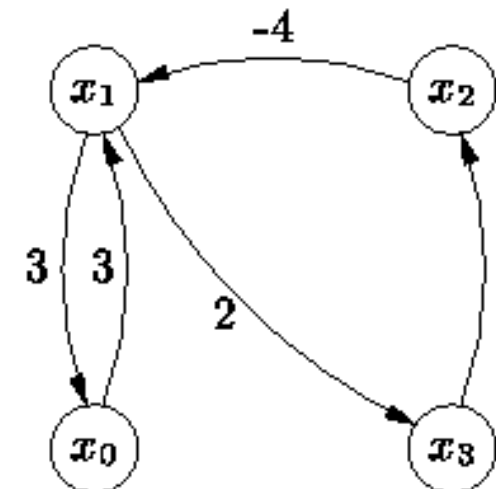
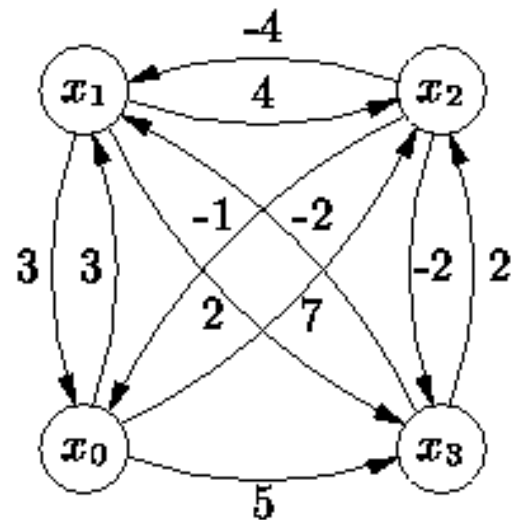
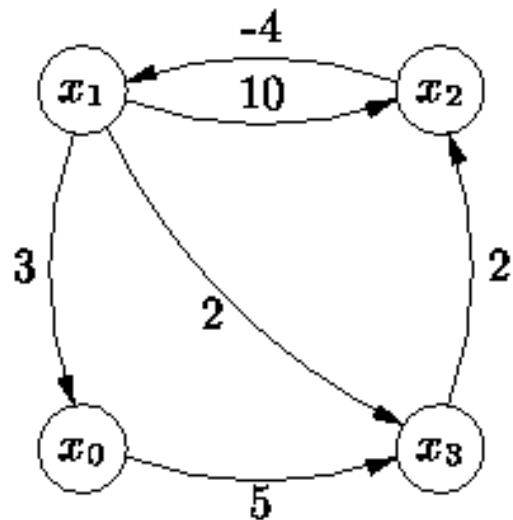
[Bengtsson, Yi 2004]

Operacje na strefach c.d.:

- $D_1 \vee D_2$

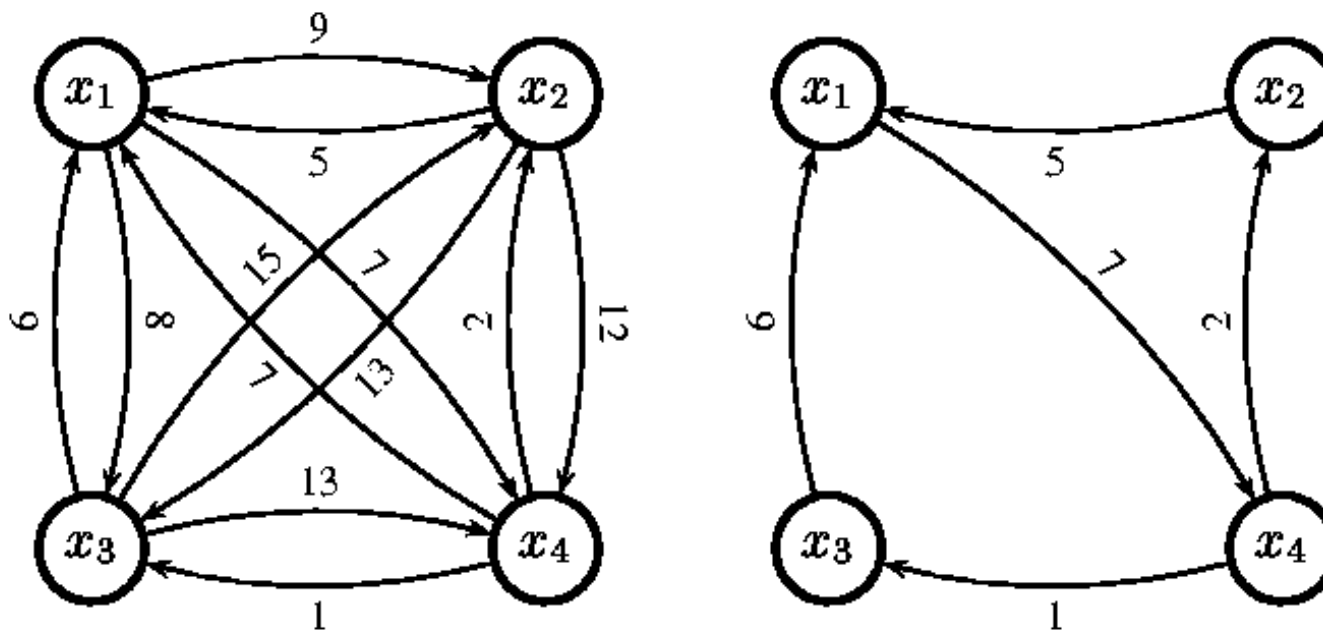
- ...

Reprezentacja minimalna



kanoniczność reprezentacji

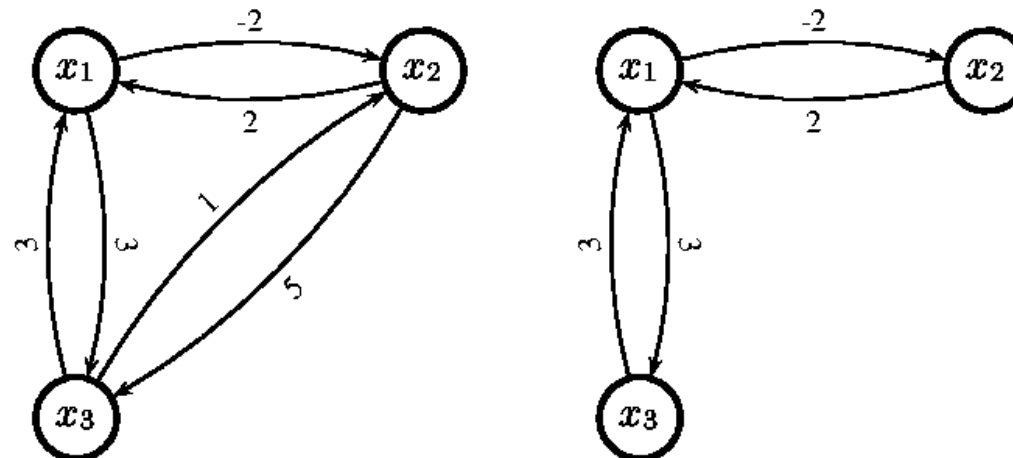
Reprezentacja minimalna



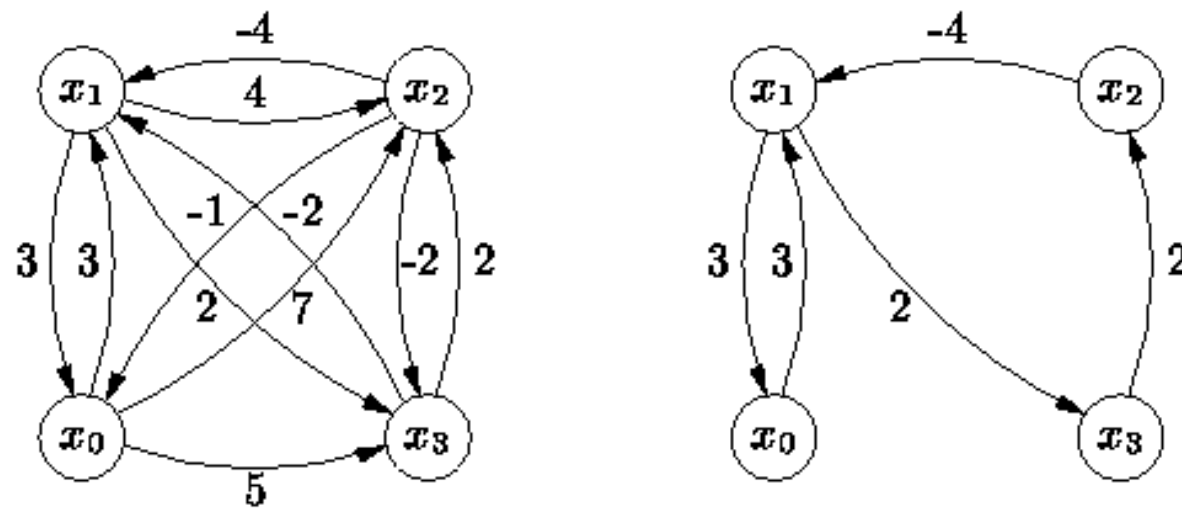
[Bengtsson, Yi 2004]

- eliminacja krawędzi nadmiarowych, gdy nie ma 0-cykli
- usunięcie krawędzi nadmiarowej nie wpływa na pozostałe

Reprezentacja minimalna (0-cykle)



[Bengtsson, Yi 2004]



III. CDDs

```

PASSED:= {}
WAIT:= {( $l_0, D_0$ )}
repeat
    begin
        get ( $l, D$ ) from WAIT
        if ( $l, D$ )  $\models \phi$  then return "YES"
        else if  $D \not\subseteq D'$  for all  $(l, D') \in$  PASSED then
            begin
                add ( $l, D$ ) to PASSED      (*)
                NEXT:= $\{(l_s, D_s) : (l, D) \rightsquigarrow (l_s, D_s) \wedge D_s \neq \emptyset\}$ 
                for all  $(l_{s'}, D_{s'})$  in NEXT do
                    put  $(l_{s'}, D_{s'})$  to WAIT
            end
    end
until WAIT= {}
return "NO"

```

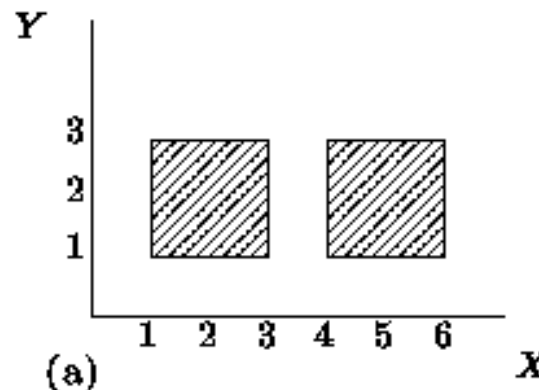
bardziej symbolicznie ?



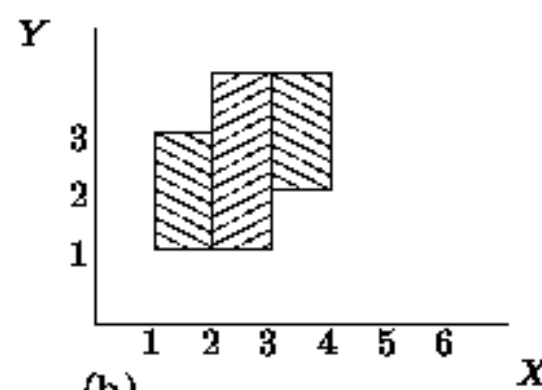
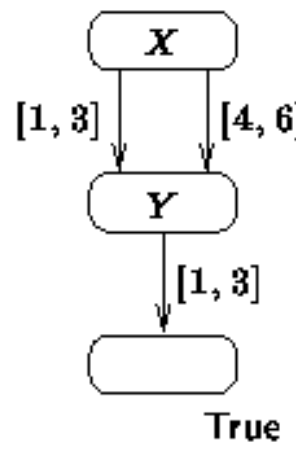
Różne czasowe adaptacje BDDs:

- IDD
- DDD
- CDD
- ...

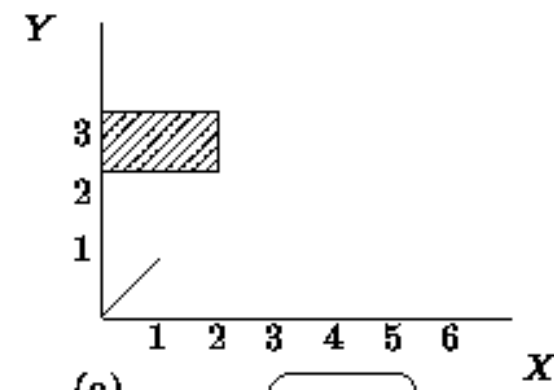
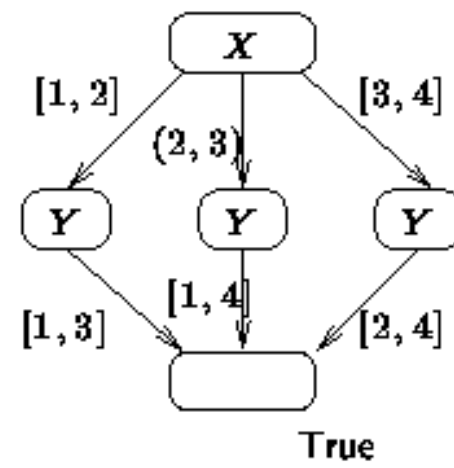
CDD = suma skończenie wielu stref



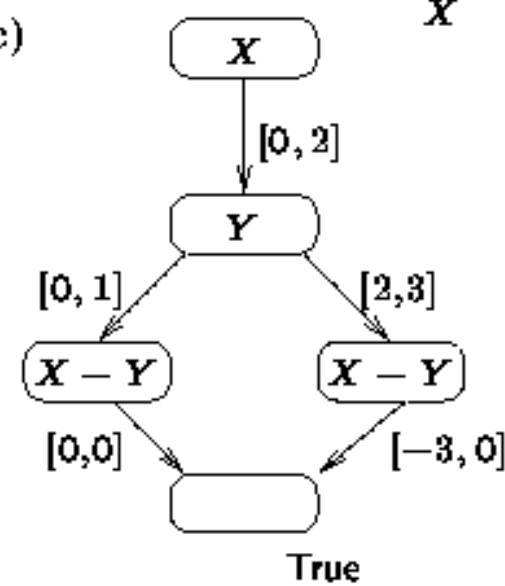
(a)



(b)



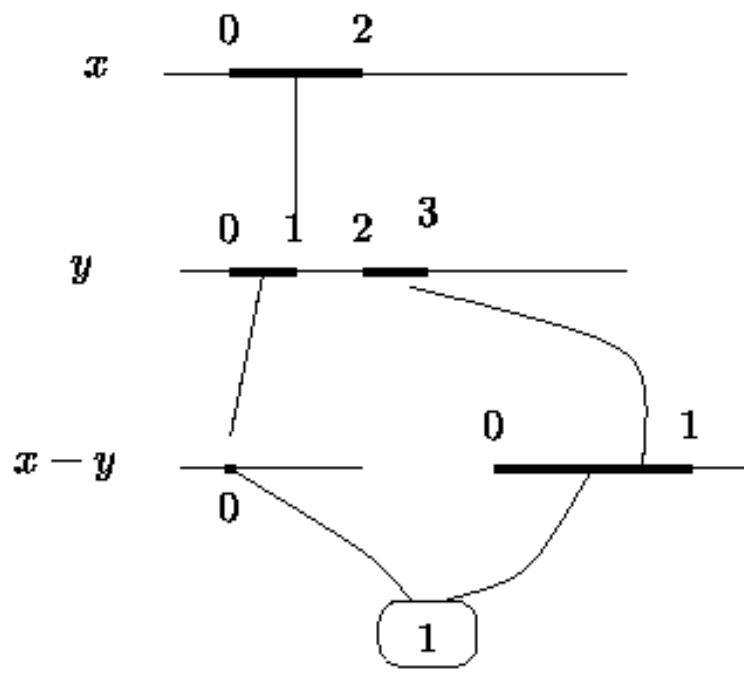
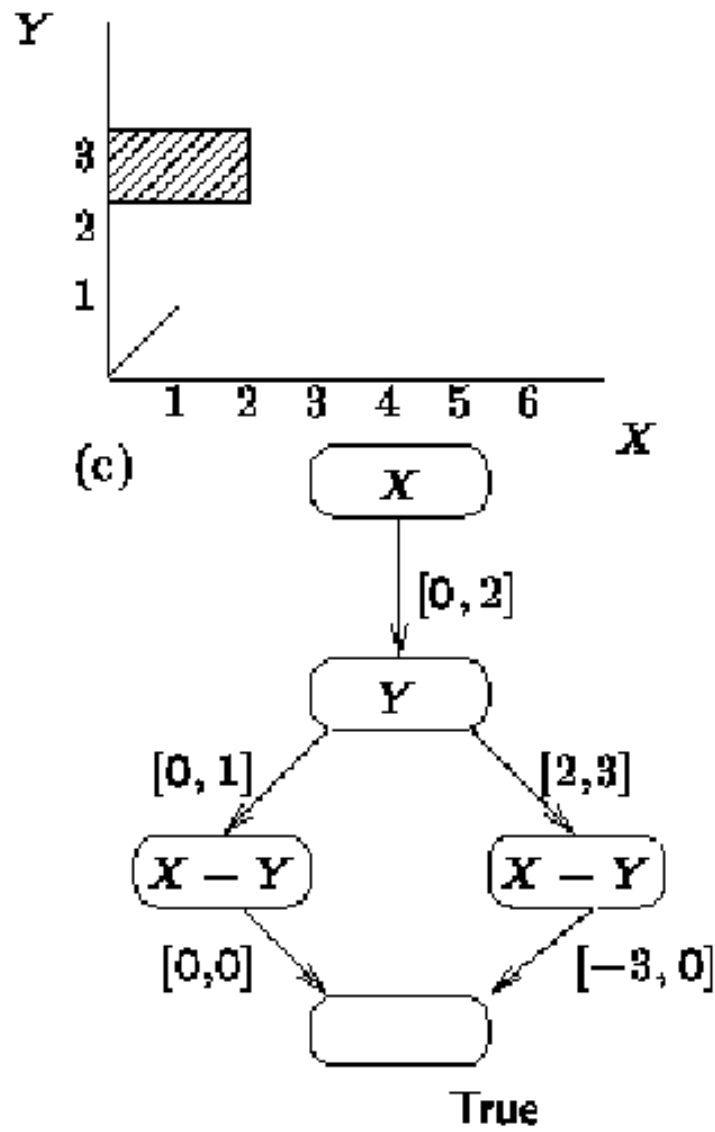
(c)



[Larsen, Pearson, Weise, Yi 1999]

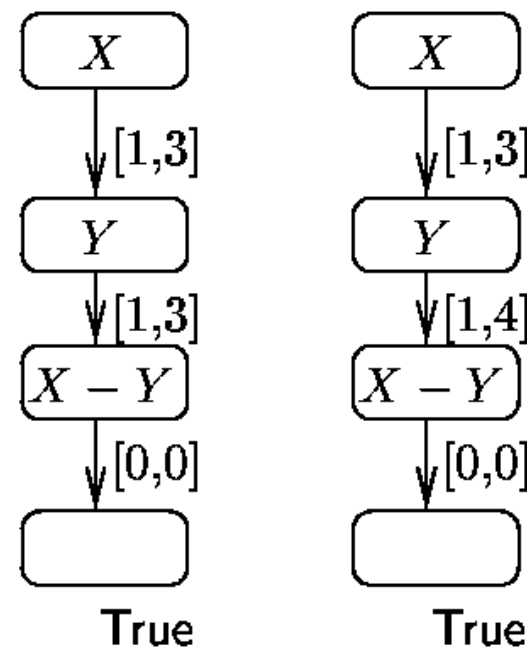
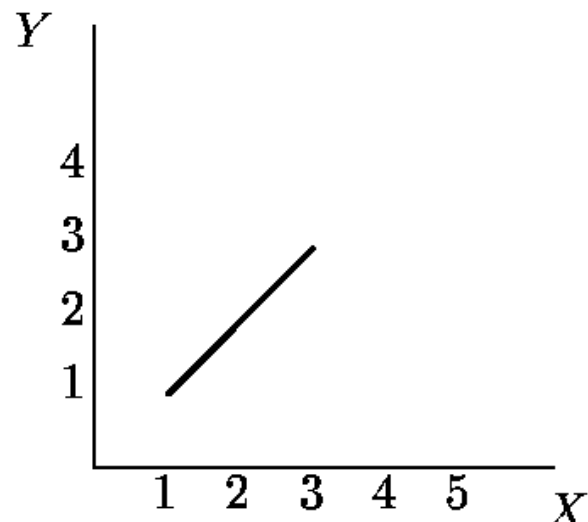
CDD (zamiast porządkowej definicji :)

- przestrzega porządku
- następcy wyznaczają podział \mathbb{R} na odcinki



[Larsen, Pearson, Weise, Yi 1999]

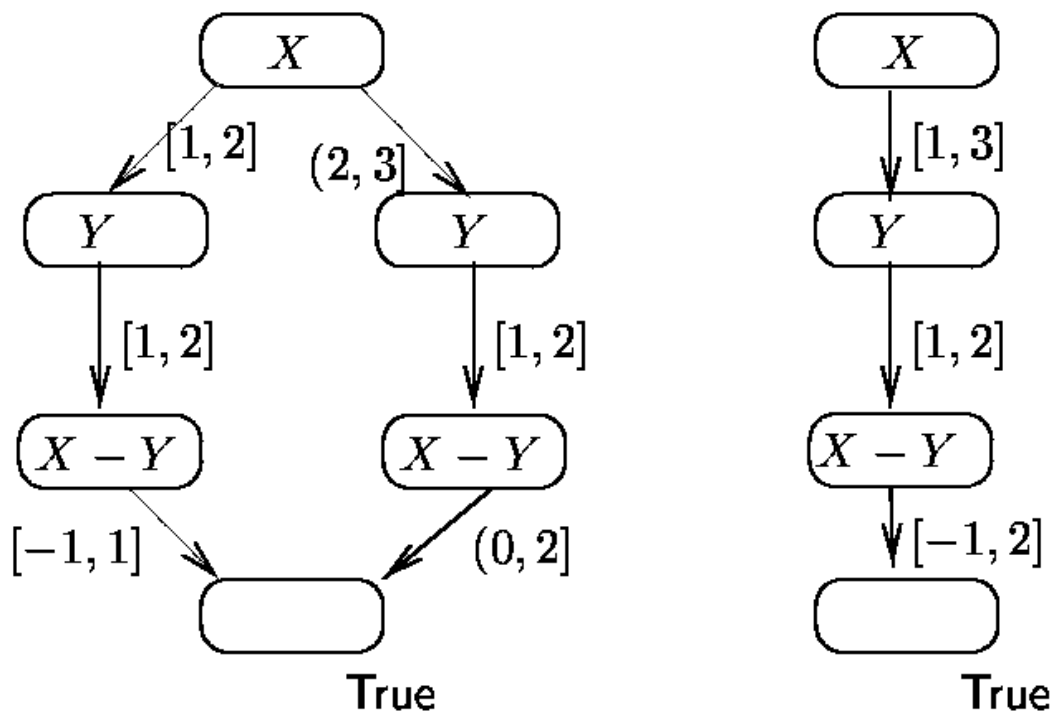
Brak kanoniczności !



[Larsen, Pearson, Weise, Yi 1999]

Dodatkowe założenie:
każda ścieżka jest „kanonicznym DBM’em”.

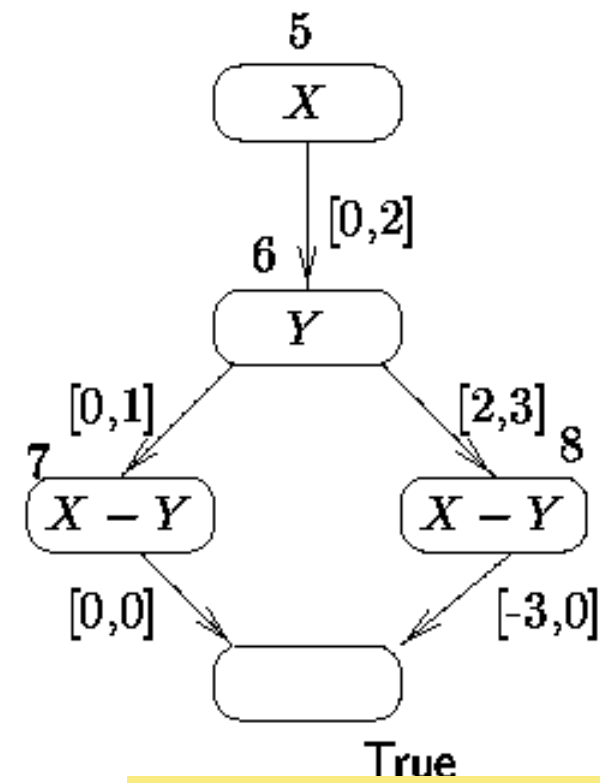
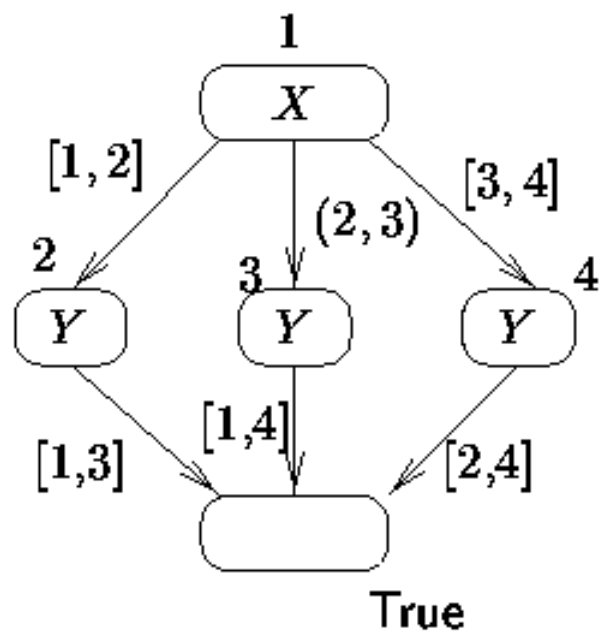
Wciąż brak kanoniczności !



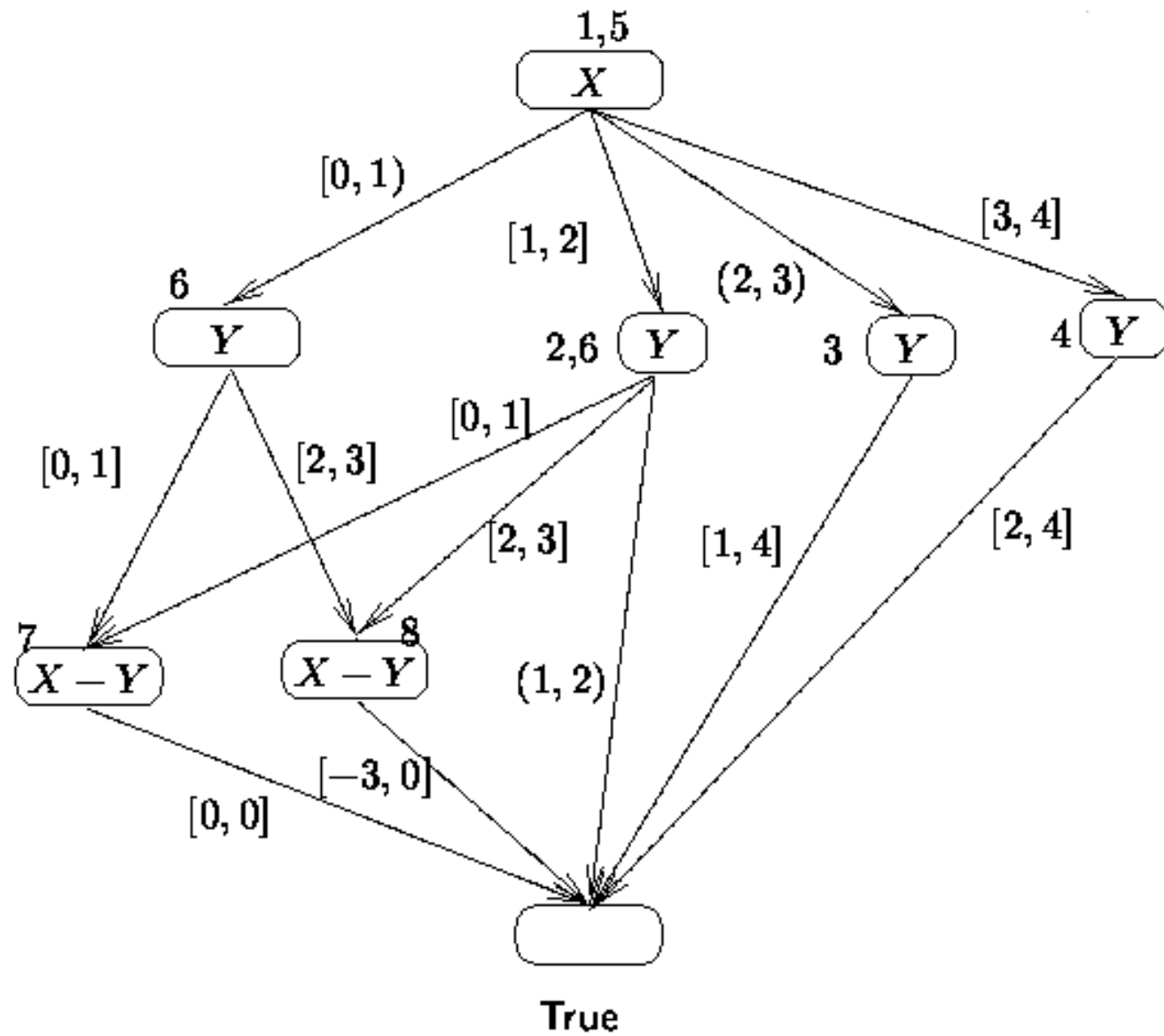
[Larsen, Pearson, Weise, Yi 1999]

Operacje na CDDs – przykład

$\text{op}(D_1, D_2)$



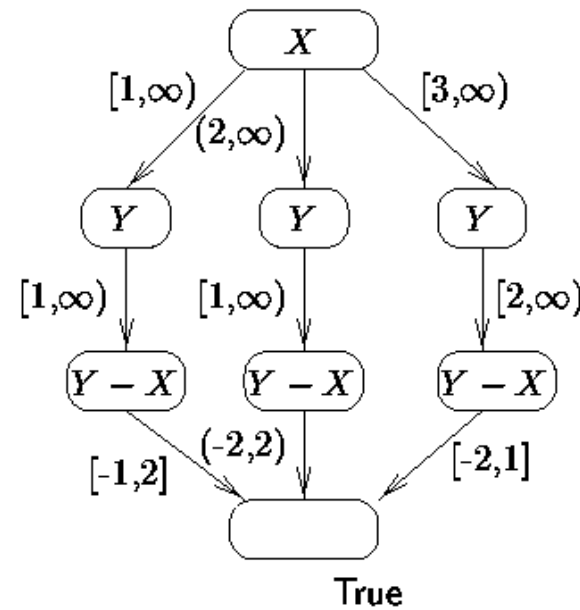
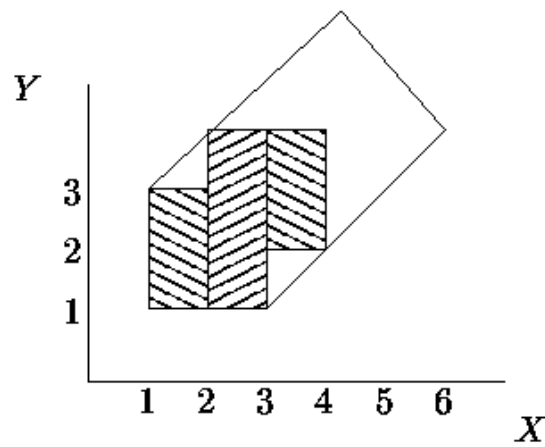
[Larsen, Pearson, Weise, Yi 1999]



[Larsen, Pearson, Weise, Yi 1999]

Operacje na CDDs

- $D_1 \subseteq D_2 \iff D_1 \cap \neg D_2 = \emptyset$
- D^{\rightsquigarrow}



- $D[\mathcal{C}' := 0]$

[Larsen, Pearson, Weise, Yi 1999]